

АНТИФЕРРОМАГНИТНЫЙ РЕЗОНАНС И ДИЭЛЕКТРИЧЕСКИЕ СВОЙСТВА РЕДКОЗЕМЕЛЬНЫХ ФЕРРОБОРАТОВ В СУБМИЛЛИМЕТРОВОМ ДИАПАЗОНЕ ЧАСТОТ

A. M. Кузьменко^a, A. A. Мухин^{a}, B. Ю. Иванов^a,
A. M. Кадомцева^b, C. П. Лебедев^a, L. Н. Безматерных^c*

^a Институт общей физики им. А. М. Прохорова Российской академии наук
119991, Москва, Россия

^b Московский государственный университет им. М. В. Ломоносова
119991, Москва, Россия

^c Институт физики им. Л. В. Киренского Сибирского отделения Российской академии наук
660036, Красноярск, Россия

Поступила в редакцию 10 декабря 2010 г.

Выполнены исследования магниторезонансных и диэлектрических свойств ряда кристаллов нового семейства мультиферроиков — редкоземельных ферроборатов $RFe_3(BO_3)_4$ с $R = Y, Eu, Pr, Tb, Tb_{0.25}Er_{0.75}$ в субмиллиметровом ($\nu = 3\text{--}20 \text{ см}^{-1}$) диапазоне частот. В ферроборатах с $R = Y, Tb, Eu$ обнаружены скачки диэлектрической проницаемости при температурах соответственно 375 К, 198 К, 58 К, обусловленные структурным фазовым переходом $R32 \rightarrow P3_121$. В области антиферромагнитного упорядочения ($T < T_N = 30\text{--}40 \text{ K}$) во всех исследованных ферроборатах, имеющих либо легкоплоскостную (Y, Eu), либо одноосную ($Pr, Tb, Tb_{0.25}Er_{0.75}$) магнитную структуру, обнаружены моды антиферромагнитного резонанса (АФМР) подсистемы ионов Fe^{3+} . Выявленна сильная зависимость частот АФМР от магнитной анизотропии редкоземельного иона и его обменного взаимодействия с Fe -подсистемой, определяющих тип магнитной структуры, знак и величину эффективной константы анизотропии. Определены основные параметры магнитных взаимодействий исследованных ферроборатов и проанализирован магнитоэлектрический вклад в АФМР.

1. ВВЕДЕНИЕ

Редкоземельные ферробораты $RFe_3(BO_3)_4$ ($R = Y, La\text{--}Lu$) привлекают в последнее время значительный интерес в связи с обнаружением в них мультиферроэлектрических явлений [1, 2], а также интересных магнитных, оптических и других свойств, обусловленных обменным взаимодействием между железной и редкоземельной магнитными подсистемами [3, 4]. При достаточно высоких температурах все редкоземельные ферробораты имеют нецентросимметричную тригональную структуру, принадлежащую пространственной группе $R32$ [5, 6], которая в ряде ферроборатов с большим ионным радиусом R-иона ($La\text{--}Sm$) сохраняется вплоть до низких тем-

ператур. В ферроборатах с меньшим ионным радиусом R-иона ($Eu\text{--}Er, Y$) с понижением температуры происходит фазовый переход в более низкосимметричную тригональную кристаллическую структуру симметрии $P3_121$ [7, 8].

При температурах ниже $T_N = 30\text{--}40 \text{ K}$ в ферроборатах происходит антиферромагнитное упорядочение в подсистеме ионов железа, спины которых в зависимости от типа R-иона ориентируются либо в ab -плоскости кристалла ($R = Nd, Sm, Eu, Er, Y$) [4, 9, 10], либо вдоль тригональной c -оси ($R = Pr, Tb, Dy$) [11–14]. При этом в редкоземельной подсистеме также индуцируется магнитный порядок за счет R–Fe-обмена, который играет важную роль в стабилизации легкоплоскостной или одноосной магнитной структуры, а роль весьма слабого R–R-взаимодействия при этом несущественна.

*E-mail: mukhin@gpi.ru

О сильном влиянии анизотропии редкоземельной подсистемы на магнитную структуру, спонтанные и индуцированные магнитным полем фазовые переходы свидетельствуют недавние исследования замещенных ферроборатов $Tb_{1-x}Er_xFe_3(BO_3)_4$ [15], $Nd_{1-x}Dy_xFe_3(BO_3)_4$ [16] с конкурирующими обменными R–Fe-взаимодействиями.

Очевидно, что эти особенности взаимодействующих Fe- и R-подсистем должны проявляться не только в статических магнитных и магнитоэлектрических свойствах, но и в высокочастотных магниторезонансных явлениях, которые в ферроборатах исследованы пока сравнительно мало. В частности, проведенные недавно магниторезонансные исследования в миллиметровом диапазоне частот ферроборатов системы $Y_{1-x}Gd_xFe_3(BO_3)_4$ обнаружили моды АФМР спинов ионов железа и заметное влияние Gd-подсистемы на их частоту и энергию магнитной анизотропии [17].

В данной работе представлены результаты исследований антиферромагнитного резонанса и диэлектрических свойств ферроборатов $RFe_3(BO_3)_4$ ($R = Y, Eu, Pr, Tb, Tb_{0.25}Er_{0.75}$) в субмиллиметровом диапазоне частот ($3\text{--}20\text{ cm}^{-1}$). Основная цель работы — выяснить зависимость частот АФМР от характера магнитной анизотропии редкоземельных ионов и определить их вклад в эффективную энергию анизотропии кристалла, а также изучить поведение диэлектрической проницаемости, в частности, при структурном фазовом переходе.

2. ЭКСПЕРИМЕНТ

Монокристаллы ферроборатов размером до 1 см были выращены методом кристаллизации из расплава на затравках [18]. Образцы для квазиоптических исследований были приготовлены в форме плоско-параллельных пластинок *a*-среза ($R = Y, Eu, Tb, Tb_{0.25}Er_{0.75}$) и *c*-среза ($R = Pr$) толщиной 0.5–1 мм. Поляризационные измерения спектров пропускания $T(\nu)$ были выполнены с помощью техники квазиоптической ЛОВ-спектроскопии (ЛОВ — лампа обратной волны) [19] в диапазоне частот $3\text{--}20\text{ cm}^{-1}$ при температурах 3–300 К.

Примеры температурной эволюции спектров $T(\nu)$ для легкоплоскостного ферробората $EuFe_3(BO_3)_4$ и легкоосного $TbFe_3(BO_3)_4$ приведены соответственно на рис. 1 и 2. Характерной особенностью всех спектров является наличие осцилляций, обусловленных интерференцией излучения в плоскопараллельном образце. На фоне

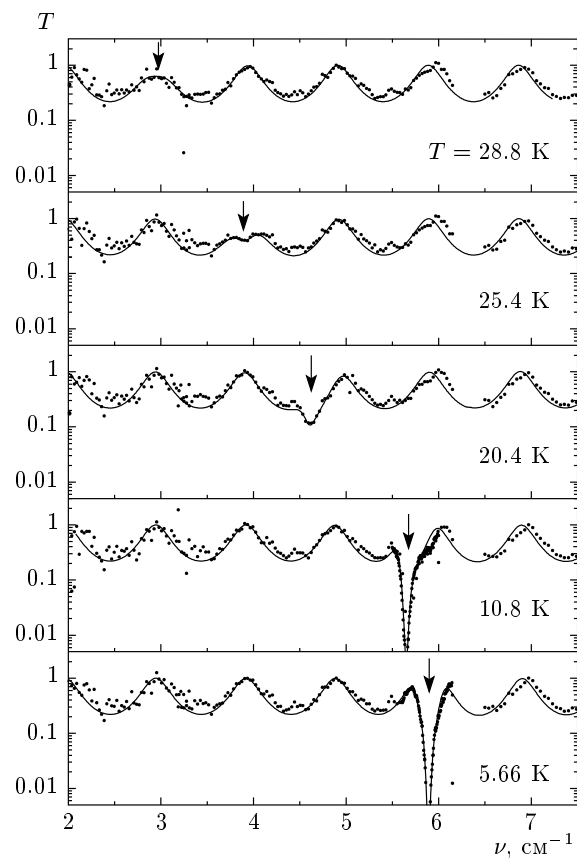


Рис. 1. Эволюция спектров пропускания и высокочастотной АФМР-моды, обозначенной стрелками, в легкоплоскостном $EuFe_3(BO_3)_4$ в поляризации $h \parallel b, e \parallel c$. Точки — эксперимент, линии — теория

таких осцилляций в области антиферромагнитного упорядочения ($T < T_N = 35\text{--}40\text{ K}$) обнаружены резонансные линии поглощения, которые наблюдались только в поляризации переменного магнитного поля перпендикулярно оси *c* и идентифицированы как АФМР-моды Fe-подсистемы (см. ниже). Полученные спектры моделировались с помощью формул Френеля для плоскопараллельного слоя с учетом дисперсии магнитной проницаемости вблизи линии резонансного поглощения

$$\mu(\nu) = 1 + \sum_k \Delta\mu_k \nu_k^2 / (\nu_k^2 - \nu^2 + i\nu\Delta\nu_k),$$

где ν_k , $\Delta\nu_k$ и $\Delta\mu_k$ — соответственно частота, ширина линии и вклад АФМР-моды в магнитную проницаемость. В результате такой обработки спектров $T(\nu)$ были получены температурные зависимости комплексной диэлектрической проницаемости ε (рис. 3) и параметров АФМР-мод (рис. 4, 5).

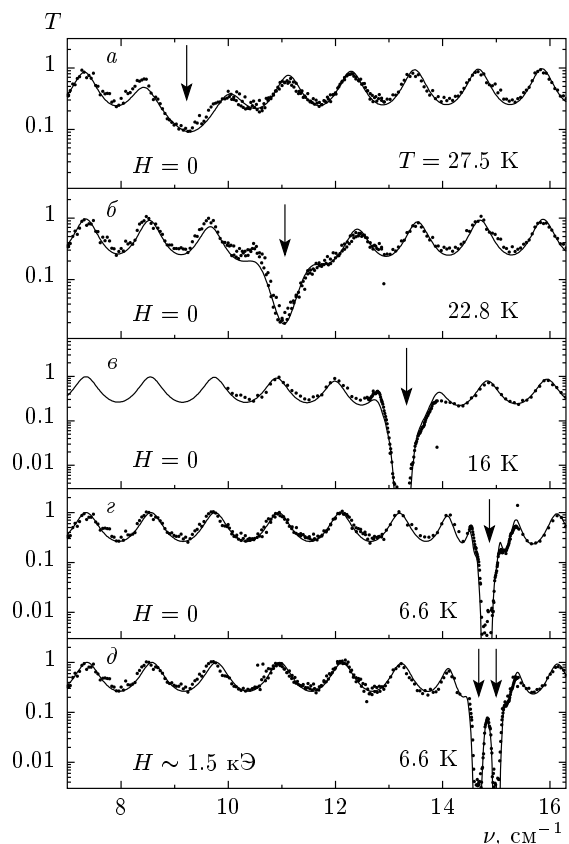


Рис. 2. Спектры пропускания легкого атома $\text{TbFe}_3(\text{BO}_3)_4$ в поляризации $h \parallel b$, $e \parallel c$, иллюстрирующие температурное поведение АФМР-моды при $H = 0$ (a–e). Нижний спектр δ демонстрирует расщепление резонансной линии в небольшом магнитном поле $H \parallel c$. Точки — эксперимент, линии — теория

3. РЕЗУЛЬТАТЫ И ОБСУЖДЕНИЕ

Рассмотрим сначала диэлектрические свойства. Как видно на рис. 3, на температурных зависимостях действительной части диэлектрической проницаемости ϵ' ферроборатов $\text{YFe}_3(\text{BO}_3)_4$, $\text{TbFe}_3(\text{BO}_3)_4$, $\text{EuFe}_3(\text{BO}_3)_4$ наблюдается сильная анизотропия вдоль и перпендикулярно тригональной оси c . Наблюдающиеся в виде скачков аномалии ϵ'_c и $\epsilon'_{\perp c} \equiv \epsilon'_b$ соответствуют переходам из высокотемпературной структурной фазы $R32$ в фазу $P3_121$ с более низкой симметрией. Значения температур структурного перехода T_s составляют 375 К в $\text{YFe}_3(\text{BO}_3)_4$, 198 К в $\text{TbFe}_3(\text{BO}_3)_4$ и 58 К в $\text{EuFe}_3(\text{BO}_3)_4$, что хорошо согласуется с данными, полученными из теплоемкости в работах [6, 13]. Наиболее заметные скачки диэлектрической про-

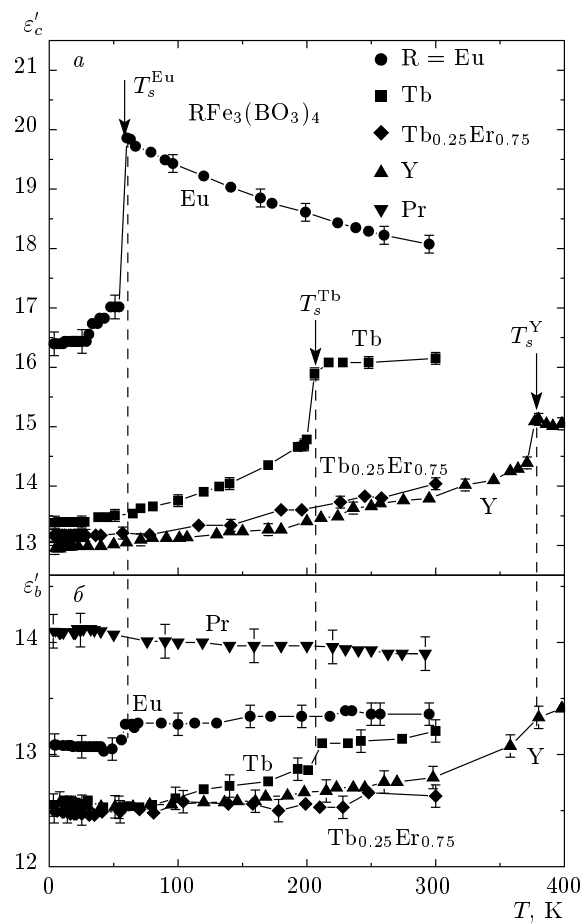


Рис. 3. Температурные зависимости действительной части диэлектрической проницаемости на частоте 13 см^{-1} (390 ГГц) вдоль c -оси (a) и в перпендикулярном направлении (b) ферроборатов с $\text{R} = \text{Y}$, Eu , Pr , Tb , $\text{Tb}_{0.25}\text{Er}_{0.75}$. Стрелками указаны температуры структурного фазового перехода

ниаемости наблюдались вдоль тригональной оси. С понижением температуры зависимость $\epsilon'_c(T)$ меняет характер ниже точки структурного перехода T_s и становится убывающей, тогда как выше T_s возрастет или практически не изменяется. В составе $\text{Tb}_{0.25}\text{Er}_{0.75}\text{Fe}_3(\text{BO}_3)_4$ поведение ϵ'_c соответствует низкотемпературной фазе $P3_121$ уже при $T \leq 300$ К, что свидетельствует, по-видимому, о наличии структурного фазового перехода выше комнатной температуры. Величина ϵ'_c слабо меняется с температурой, имеет небольшой скачок при структурном переходе и для всех исследованных составов лежит в пределах $12 < \epsilon'_c < 14$. Что касается частотной зависимости диэлектрической проницаемости в исследованном диапазоне частот ($2\text{--}16$) см^{-1} , то она практически отсутствовала или

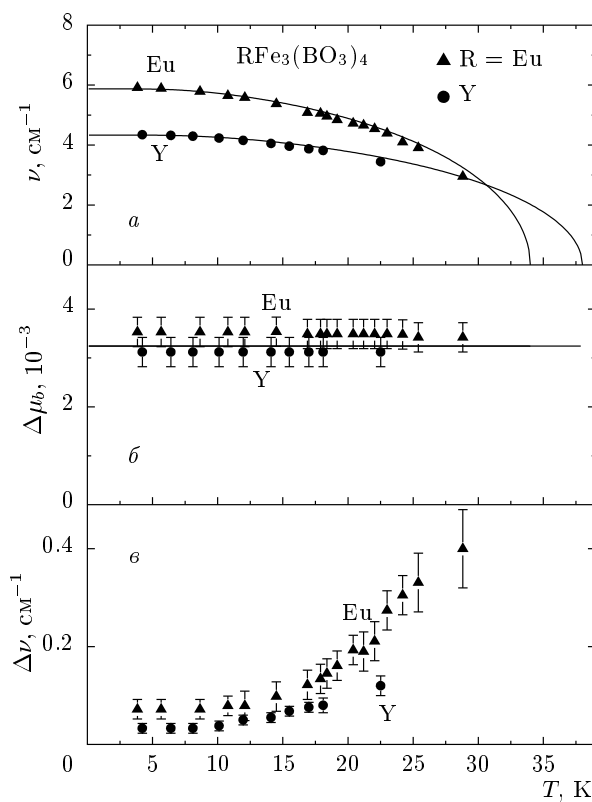


Рис. 4. Температурные зависимости резонансных частот ν , вкладов мод в магнитную проницаемость $\Delta\mu_b$ и ширин линий $\Delta\nu$ высокочастотных АФМР-мод ($h \parallel b$) в легкоплоскостных ферроборатах $\text{YFe}_3(\text{BO}_3)_4$ и $\text{EuFe}_3(\text{BO}_3)_4$. Точки — значения, полученные из спектров пропускания, линии — теория

была весьма слабой. Мнимая часть диэлектрической проницаемости (рис. 3б) для всех исследованных ферроборатов имеет величину менее 0.1–0.2 при комнатной температуре и заметно уменьшается с понижением температуры, претерпевая небольшие аномалии при структурных фазовых переходах. Подобный характер температурных зависимостей диэлектрической проницаемости наблюдался и при низких (радио) частотах [4, 7].

Обратимся теперь к магниторезонансным свойствам. В легкоплоскостном антиферромагнитном состоянии имеются две АФМР-моды [20]: низкочастотная, в которой колебания вектора антиферромагнетизма \mathbf{L} происходят в легкой ab -плоскости и возбуждаются полем, параллельным оси c ,

$$\left(\frac{\omega_1}{\gamma}\right)^2 \approx H^2 + 2H_E H_{A6}^{\text{Fe}} \cos 6\varphi, \quad (1)$$

и высокочастотная, — соответствующая колебани-

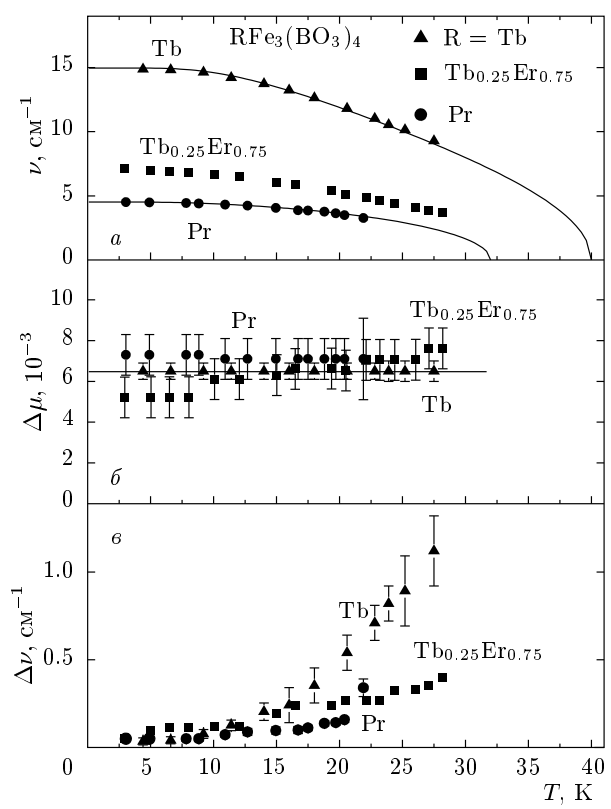


Рис. 5. Температурные зависимости резонансных частот ν , вкладов мод в магнитную проницаемость $\Delta\mu_b$ и ширин линий $\Delta\nu$ АФМР-моды в одноосных $\text{PrFe}_3(\text{BO}_3)_4$, $\text{TbFe}_3(\text{BO}_3)_4$ и $\text{Tb}_{0.25}\text{Er}_{0.75}\text{Fe}_3(\text{BO}_3)_4$. Точки — значения, полученные из спектров пропускания, линии — теория

ям антиферромагнитного момента \mathbf{L} с отклонением от базисной (легкой) плоскости и возбуждаемых полем, перпендикулярным оси c и вектору \mathbf{L} ,

$$\left(\frac{\omega_2}{\gamma}\right)^2 \approx 2H_E H_{A6}^{\text{Fe}} \equiv \frac{K_{\text{Fe}}}{\chi_{\perp}}. \quad (2)$$

В выражении (1) внешнее магнитное поле лежит в базисной плоскости и при $H \gg H_{A6}^{\text{Fe}}$ определяет ориентацию \mathbf{L} в этой плоскости, задаваемую углом φ ($\mathbf{H} \perp \mathbf{L}$), χ_{\perp} — поперечная восприимчивость антиферромагнитно упорядоченных спинов железа, M_0 — намагниченность их подрешеток, $H_E = M_0/2\chi_{\perp}$ — поле изотропного Fe–Fe-обмена, $H_A^{\text{Fe}} = K_{\text{Fe}}/M_0$ — поле анизотропии железной подсистемы, стабилизирующее легкоплоскостное состояние, H_{A6}^{Fe} — поле анизотропии в базисной плоскости ($H_{A6}^{\text{Fe}} \ll H_A^{\text{Fe}} \ll H_E$), γ — гиромагнитное отношение.

В легкоплоскостных ферроборатах $\text{YFe}_3(\text{BO}_3)_4$ и $\text{EuFe}_3(\text{BO}_3)_4$ обнаруженные моды, которые возбуждаются полем, параллельным оси b , идентифи-

цированы как высокочастотные АФМР-моды ионов Fe^{3+} (рис. 1). В $\text{YFe}_3(\text{BO}_3)_4$ с немагнитным Y полученные значения частоты $\nu_2 = \omega_2/2\pi$ и вклада $\Delta\mu$ (рис. 4a,b) определяются лишь подсистемой железа. Величина вклада высокочастотной моды, возбуждаемой переменным магнитным полем \mathbf{h} вдоль любого направления \mathbf{n} в базисной плоскости, определяется выражением ($H = 0$)

$$\Delta\mu_n = 4\pi\chi_{\perp} [1 - \langle (\mathbf{L} \cdot \mathbf{n})^2 \rangle] = 4\pi\chi_{\perp}/2, \quad (3)$$

где проведено усреднение по всем направлениям векторов \mathbf{L} с учетом равномерного распределения в ab -плоскости по шести направлениям естественной анизотропии. (Это выражение справедливо также и для непрерывного распределения \mathbf{L} в плоскости за счет случайных упругих напряжений, если их магнитоупругий вклад в наведенную энергию анизотропии в базисной плоскости превышает естественную анизотропию H_{A6}^{Fe}). Такое распределение подтверждается анизотропией статической магнитной восприимчивости $\text{YFe}_3(\text{BO}_3)_4$, где восприимчивость в базисной плоскости в два раза меньше, чем вдоль оси c [4]. Отметим также, что полученная величина вклада (рис. 4b) практически не зависит от температуры в полном соответствии с формулой (3). Полученное значение вклада моды ν_2 позволяет определить статическую восприимчивость $\chi_{\perp} \approx (1.2-1.3) \cdot 10^{-4} \text{ см}^3/\text{г}$ и соответствующее обменное поле ($H_E = M_0/2\chi_{\perp} = 680 \text{ кЭ}$), которые хорошо согласуются с результатами статических измерений [4]. Значение частоты этой моды ν_2 позволяет получить величину константы анизотропии $K_{\text{Fe}} = 2.7 \cdot 10^5 \text{ эрг/г}$ железной подсистемы, согласующееся с данными [17]. Наблюдаемую температурную зависимость частот $\nu_2(T)$ (рис. 4a) удалось описать, используя приближение молекулярного поля для намагниченности подрешеток железа.

Вторая (низкочастотная) мода АФМР, определяемая анизотропией в легкой ab -плоскости, имеет намного меньшую частоту, не проявляясь в исследованном диапазоне. Частота этой моды возрастает при приложении внешнего магнитного поля $H \perp c$, благодаря чему она наблюдалась в работах [17] на фиксированной частоте с разверткой по полю.

При анализе ферроборатов с магнитными редкими землями нужно рассматривать, вообще говоря, две взаимосвязанные магнитные подсистемы, динамика которых существенным образом зависит от соотношения собственных резонансных частот подсистем. В случае исследуемых ферроборатов, когда характерные частоты электронных переходов в редкоземельной системе ω_R значительно больше частот

АФМР Fe-подсистемы, ω_{Fe} , можно полагать, что динамические переменные R-подсистемы на частотах порядка ω_{Fe} мгновенно следуют за спинами ионов железа и определяются соответствующими эффективными полями. Это позволяет исключить переменные R-подсистемы и описывать их вклад с помощью эффективного термодинамического потенциала, зависящего только от переменных Fe-подсистемы, что использовалось при анализе динамических свойств других подобных систем, например, ортоферритов [19, 21]. Если обменное расщепление (сдвиг) уровней R-ионов за счет R-Fe-взаимодействия значительно меньше характерных расстояний между уровнями R-иона $\hbar\omega_R$ в кристаллическом поле, то свободную энергию можно представить в виде

$$\Phi \approx \Phi_{\text{Fe}} - \frac{1}{4} \sum_{\alpha=\pm} \mathbf{H}_{\text{eff}}^{\alpha} \hat{\chi}^R \mathbf{H}_{\text{eff}}^{\alpha}, \quad (4)$$

где $\hat{\chi}^R$ — тензор статической магнитной восприимчивости редкоземельного иона в кристаллическом поле, $\mathbf{H}_{\text{eff}}^{\pm} = \mathbf{H} + \mathbf{H}_{ex}^{\pm}$, $\mathbf{H}_{ex}^{\pm} \approx \pm(\lambda_{\perp} L_x, \lambda_{\perp} L_y, \lambda_{\parallel} L_z)$ — поле R-Fe-обмена, в котором опущен вклад, пропорциональный ферромагнитному моменту M Fe-подсистемы; так как $M \ll L$, знаки « \pm » соответствуют двум R-подрешеткам. Энергию анизотропии в этом случае можно описать эффективной константой анизотропии K_{eff} , включающей как анизотропию подсистемы спинов железа, так и вклад редкоземельной подсистемы,

$$\Phi_A = \frac{1}{2} K_{\text{Fe}} L_z^2 - \frac{1}{2} (\chi_{\parallel}^R \lambda_{\parallel}^2 - \chi_{\perp}^R \lambda_{\perp}^2) L_z^2 \equiv \frac{1}{2} K_{\text{eff}} L_z^2. \quad (5)$$

Такой подход может быть использован для анализа АФМР в $\text{EuFe}_3(\text{BO}_3)_4$, поскольку основное состояние иона Eu^{3+} является немагнитным ($J = 0$) и отделено от возбужденных мультиплетов значительным энергетическим интервалом $\Delta^{\text{Eu}} \approx \approx 400 \text{ см}^{-1}$ [22], а его магнитные свойства определяются примешиванием возбужденных состояний (ван-Флековский магнетизм) [23]. Наблюданное увеличение частоты ν_2 в $\text{EuFe}_3(\text{BO}_3)_4$ по сравнению с $\text{YFe}_3(\text{BO}_3)_4$ (рис. 4a) свидетельствует о дополнительном вкладе ионов Eu^{3+} в энергию анизотропии. Полагая, что этот вклад связан в основном с анизотропией ван-Флековской магнитной восприимчивости иона Eu^{3+} , для которой, согласно данным [4], $\chi_{\perp c}^{VV} > \chi_c^{VV}$, получаем естественное объяснение возрастания эффективной константы анизотропии $K_{\text{eff}} = K_{\text{Fe}} + (\chi_{\perp c}^{VV} - \chi_c^{VV}) H_{\text{Eu-Fe}}^2$ за счет положительного вклада от европиевой подсистемы, где $H_{\text{Eu-Fe}}$ — поле изотропного Eu-Fe-обмена. Используя полученные выше значения частоты и

вклада моды ν_2 , данные по анизотропии магнитной восприимчивости $\text{EuFe}_3(\text{BO}_3)_4$ [4], а также найденное выше значение K_{Fe} , можно определить $H_{\text{Eu-Fe}} \approx 140$ кЭ. Наблюданная температурная зависимость частоты ν_2 качественно не отличается от аналогичной для ферробората иттрия и также описывается в приближении молекулярного поля (рис. 4a).

В легкоосном антиферромагнитном состоянии ($\mathbf{L} \parallel \mathbf{c}$), которое реализуется в других исследованных ферроборатах $\text{PrFe}_3(\text{BO}_3)_4$ [12], $\text{TbFe}_3(\text{BO}_3)_4$ [10, 13, 24] и $\text{Tb}_{0.25}\text{Er}_{0.75}\text{Fe}_3(\text{BO}_3)_4$ [15], в поляризации $h \perp c$ возбуждаются две АФМР-моды [20], частоты которых при $H \parallel c$ равны

$$\omega^\pm \approx \gamma \left(\sqrt{2H_E H_A^{\text{eff}}} \pm H \right), \quad (6)$$

где $H_A^{\text{eff}} = -K_{\text{eff}}/M_0$ — эффективное поле анизотропии, которое стабилизирует легкоосное состояние при $K_{\text{eff}} < 0$. В отсутствие поля резонансные частоты вырождены, $\omega_0 = \omega^+ = \omega^-$, и наблюдается одна линия поглощения в поляризации $h \perp c$ (рис. 2); величина ее вклада определяется поперечной восприимчивостью спинов железа $\Delta\mu_{\perp c} = 4\pi\chi_\perp$.

Согласно оптическим данным [11], в $\text{PrFe}_3(\text{BO}_3)_4$ основное состояние иона Pr^{3+} в кристаллическом поле является синглетом, а энергия следующего возбужденного уровня соответствует 48 cm^{-1} , что позволяет проанализировать АФМР в железной подсистеме на основе эффективного термодинамического потенциала (4) и энергии анизотропии (5). Величина вклада наблюдаемой моды в магнитную проницаемость (рис. 5б) дает значения χ_\perp и H_E , близкие к соответствующим параметрам для $\text{YFe}_3(\text{BO}_3)_4$. Частота наблюдаемой моды (рис. 5a) и полученное значение H_E позволяют определить константу $K_{\text{eff}} = -2.7 \cdot 10^5$ эрг/г и соответствующее поле спин-флоп-перехода $H_{sf} = [-K_{\text{eff}}/\chi_\perp]^{1/2} \approx 48$ кЭ, что хорошо согласуется с данными, полученными из низкотемпературных кривых намагничивания [12]. Согласно магнитным измерениям, восприимчивость ионов Pr сильно анизотропна, причем $\chi_c^{\text{Pr}} > \chi_{\perp c}^{\text{Pr}}$, что, по-видимому, является основной причиной изменения знака эффективной константы анизотропии и стабилизации одноосного состояния. В то же время нельзя исключать и вклада от анизотропной части Pr–Fe-обмена, выявленного из анализа оптических данных [11].

В ферроборате $\text{TbFe}_3(\text{BO}_3)_4$ обнаружено значительное возрастание частоты АФМР-моды (рис. 5a),

которое свидетельствует не только об изменении знака эффективной константы анизотропии K_{eff} , но и ее большой величине за счет анизотропного вклада ионов Tb^{3+} , поляризованных вдоль их изинговской оси, совпадающей с тригональной осью кристалла. Легкоосный характер магнитного упорядочения в $\text{TbFe}_3(\text{BO}_3)_4$ подтверждается тем фактом, что АФМР-мода, наблюдаемая в поляризации $h \perp c$, при приложении внешнего магнитного поля H расщепляется на две моды (рис. 2d) в соответствии с выражением (6). Основным состоянием иона Tb^{3+} в кристаллическом поле является квазидублет, расщепление которого практически полностью определяется обменным полем [13, 15]

$$2\Delta_{\text{Tb}} = 2\mu_{\text{Tb}}^z H_{\text{Tb-Fe}}^z = 2\mu_{\text{Tb}}^z (\lambda_{\parallel} L_z),$$

а вклад в свободную энергию равен

$$\Phi_{\text{Tb}} \approx -NTk_B \ln 2 \operatorname{ch}(\Delta_{\text{Tb}}/k_BT),$$

где N — число ионов Tb. Учитывая большую величину этого обменного расщепления ($2\Delta_{\text{Tb}} \approx 30 \text{ см}^{-1}$ [13, 15]) по сравнению с наблюдаемыми частотами АФМР (рис. 5a), можно рассчитать последние на основе уравнений Ландау–Лифшица с учетом редкоземельного вклада Φ_{Tb} в полный термодинамический потенциал системы. Это дает для резонансных частот выражение, совпадающее по форме с (6), в котором эффективная константа анизотропии содержит отрицательный вклад Tb,

$$K_{\text{eff}} \equiv K_{\text{Fe}} - N\Delta_{\text{Tb}} \operatorname{th}(\Delta_{\text{Tb}}/k_BT) < 0.$$

Значения поля H_E и χ_\perp для $\text{TbFe}_3(\text{BO}_3)_4$, определяемые вкладом АФМР-моды в магнитную проницаемость $\Delta\mu_{\perp c}$ (рис. 5б), оказались близки к соответствующим значениям в остальных рассмотренных ферроборатах. Используя эти данные, а также значение частоты АФМР ω_0 при низкой температуре и значение K_{Fe} , найденное для ферробората иттрия, можно непосредственно определить величину обменного расщепления

$$2\Delta_{\text{Tb}} = [\chi_\perp(\omega_0/\gamma)^2 - K_{\text{Fe}}]/N \approx 30 \text{ см}^{-1}$$

и соответствующего обменного поля $H_{\text{Tb-Fe}}^c \approx \approx 35$ кЭ, которые хорошо согласуются с результатами статических исследований [13, 15], в частности, со значением поля спин-флоп-перехода [15, 24]. Отметим, что из-за изинговского характера иона Tb^{3+} прямое наблюдение резонансных переходов основного квазидублета невозможно.

Подтверждением рассмотренной выше картины формирования магнитной анизотропии в $TbFe_3(BO_3)_4$ является наблюдаемое поведение АФМР в разбавленной системе $Tb_{0.25}Er_{0.75}Fe_3(BO_3)_4$. Обнаруженное в ней уменьшение в два раза частоты АФМР (рис. 5a) подтверждает превалирующий вклад ионов Tb^{3+} в эффективную анизотропию даже при их четырехкратном разбавлении. Вклад Er^{3+} здесь не очень существен из-за меньшего обменного расщепления, составляющего по данным работы [10] около 1.9 см^{-1} .

Приведенный выше анализ магниторезонансных свойств ферроборатов проведен без учета магнитоэлектрического взаимодействия, поскольку нам не удалось обнаружить проявления соответствующих магнитоэлектрических явлений в исследованном диапазоне частот. Тем не менее, ниже мы кратко обсудим эти интересные тонкие эффекты и проанализируем условия их наблюдения.

Магнитоэлектрический вклад от Fe-подсистемы в термодинамический потенциал имеет вид [1, 2]

$$\begin{aligned}\Phi_{ME} = & -c_1 (P_x L_y L_z - P_y L_x L_z) - \\ & - c_2 [P_x (L_x^2 - L_y^2) - 2 P_y L_x L_y] - \\ & - c_6 P_z L_x L_z (L_x^2 - 3 L_y^2),\end{aligned}\quad (7)$$

где \mathbf{P} — электрическая поляризация, $c_{1,2,6}$ — константы. Добавляя Φ_{ME} , а также диэлектрическую часть $\Phi_E = -\mathbf{P} \cdot \mathbf{E} + (1/2)\mathbf{E}\hat{\chi}^E\mathbf{E}$ к полному термодинамическому потенциалу и используя уравнения движения для динамических переменных \mathbf{M} , \mathbf{L} и \mathbf{P} , можно определить полный линейный отклик системы на переменное магнитное и электрическое поле:

$$\mathbf{m} = \hat{\chi}^m \mathbf{h} + \hat{\chi}^{me} \mathbf{e}, \quad \mathbf{p} = \left(\hat{\tilde{\chi}}^{me}\right)^* \mathbf{h} + \hat{\chi}^e \mathbf{e},$$

где $\hat{\chi}^m$, $\hat{\chi}^e$, $\hat{\chi}^{me}$ — соответственно магнитная, электрическая и магнитоэлектрическая восприимчивости системы. В одноосном состоянии восприимчивости являются диагональными и имеют резонансный вклад:

$$\begin{aligned}\chi_{xx,yy}^m &\equiv \chi_{\perp}^m = \chi_{\perp} R(\omega), \\ \chi_{xx,yy}^e &\equiv \chi_{\perp}^e = \chi_{\perp}^E + \Delta \chi_{rot}^e R(\omega), \\ \chi_{xx,yy}^{me} &= i \chi_{\perp}^{me} \equiv \frac{i\omega}{\omega_0} \sqrt{\chi_{\perp} \Delta \chi_{rot}^e} R(\omega),\end{aligned}$$

где $\Delta \chi_{rot}^e = P_1^2 / |K_{eff}|$ — магнитоэлектрический вклад вращения в электрическую восприимчивость, $P_1 = c_1 \chi_{\perp}^E L_{zo}^2$, $\chi_{\perp}^E = (\varepsilon_{\perp} - 1)/4\pi$ — решеточная часть электрической восприимчивости, $R(\omega) = \omega_0^2 / (\omega_0^2 - \omega^2 + i\omega\Delta\omega)$, а ω_0 и $\Delta\omega$ — соответственно

частота и ширина АФМР-моды. Наиболее интересным следствием, обусловленным магнитоэлектрической восприимчивостью, является появление двух собственных право- и левоциркулярно поляризованных электромагнитных мод, характеризуемых показателем преломления, $n_{\pm} = n_0 \pm 4\pi\chi_{\perp}^{me}$, при их распространении вдоль оси c , где $n_0 = \sqrt{\varepsilon_{\perp}\mu_{\perp}}$, $\varepsilon_{\perp} = 1 + 4\pi\chi_{\perp}^e$, $\mu_{\perp} = 1 + 4\pi\chi_{\perp}^m$. Это приводит к вращению плоскости поляризации волны на угол $\Delta\theta_{me} = (\omega d/c)4\pi\chi_{\perp}^{me}$ при прохождении слоя толщиной d , где c — скорость света. Ориентируясь на данные магнитоэлектрических исследований $PrFe_3(BO_3)_4$ [12] и $TbFe_3(BO_3)_4$ [15], которые позволяют оценить $P_1 = (1-10) \text{ мККл/м}^2$ (0.3–3 ед. СГСЕ), получим для магнитоэлектрического вклада в диэлектрическую и магнитоэлектрическую проницаемости $4\pi\Delta\chi_{rot}^e = 1.1(10^{-6}-10^{-4})$ и $4\pi\sqrt{\chi_{\perp}\Delta\chi_{rot}^e} = 0.88(10^{-4}-10^{-3})$ для $PrFe_3(BO_3)_4$. В результате оценка значения резонансного угла вращения плоскости поляризации при частоте АФМР около 4 см^{-1} дает $\Delta\theta_{me} = 0.5^{\circ}-5^{\circ}$ при толщине 0.5 мм. Проведенные нами квазиоптические исследования $PrFe_3(BO_3)_4$ c -среза в скрещенных поляризаторах, к сожалению, не выявили вращения плоскости поляризации, видимо, из-за сравнительно небольшой величины эффекта и недостаточно высокой чувствительности спектрометра.

В легкоплоскостном состоянии также имеется резонансный вклад в электрическую и магнитоэлектрическую восприимчивости, который в области высокочастотной (квазиантиферромагнитной) АФМР-моды также определяется восприимчивостью вращения $\Delta\chi_{rot}^e$ и приводит к электроактивности этой моды (т. е. возбуждению электрическим полем), а также к эллиптической поляризации соответствующих собственных электромагнитных мод в кристалле и вращению плоскости поляризации распространяющейся волны. Однако в отличие от предыдущего случая все эти эффекты оказываются квадратичными по малой магнитоэлектрической константе c_1 , чем, видимо, и осложняется возможность их наблюдения. Более реалистичным представляется проявление магнитоэлектрического вклада в области низкочастотной АФМР-моды, анализ которого является предметом отдельного рассмотрения. Отметим также, что поскольку в ряде ферроборатов редкоземельная подсистема может давать значительный вклад в магнитоэлектрическое взаимодействие (поляризацию), можно ожидать более сильного проявления рассмотренных выше динамических эффектов в области соответствующих редкоземельных мод, обусловленных

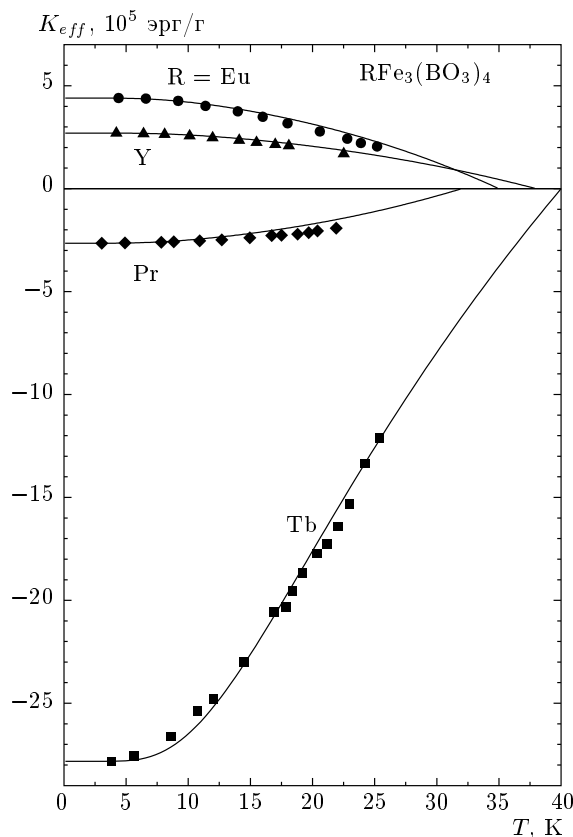


Рис. 6. Температурные зависимости эффективных констант анизотропии легкоплоскостных ($R = Y$, Eu) и легкоосных (Pr , Tb) ферроборатов. Точки — значения, полученные из пересчета экспериментальных значений частот АФМР и вкладов, линии — теория

переходами между энергетическими уровнями R -иона.

4. ЗАКЛЮЧЕНИЕ

Проведенные квазиоптические исследования монокристаллов редкоземельных ферроборатов $RFe_3(BO_3)_4$ с $R = Y$, Eu , Pr , Tb и $Tb_{0.25}Er_{0.75}$ в субмиллиметровом диапазоне ($\nu = 3\text{--}20 \text{ см}^{-1}$) позволили определить анизотропную диэлектрическую проницаемость ϵ' , выявить ее аномалии при структурных фазовых переходах, а также обнаружить и изучить АФМР в подсистеме ионов железа. Установлено сильное влияние на частоты АФМР магнитной анизотропии и характера основного состояния редкоземельного иона в кристаллическом и обменном полях. Из полученных данных для частот АФМР и вкладов мод в магнитную проницаемость определены

основные параметры магнитных взаимодействий исследованных ферроборатов (поле Fe–Fe-обмена, H_E , и эффективная константа анизотропии K_{eff} , эффективные поля R–Fe-обмена, H_{R-Fe} , и обменное расщепление основного состояния редкоземельного иона). Показано, что значения обменного поля H_E близки для всех исследованных составов, тогда как эффективные константы анизотропии, температурные зависимости которых приведены на рис. 6, значительно отличаются для составов с разными R-ионами. Найденные значения параметров обмена, анизотропии и расщепления основного состояния редкой земли хорошо согласуются с данными статических и оптических измерений. Показано, что учет магнитоэлектрического взаимодействия приводит к ряду новых интересных эффектов, обнаружение которых требует дополнительных экспериментальных усилий.

Работа выполнена при финансовой поддержке РФФИ (грант № 10-02-00846).

ЛИТЕРАТУРА

1. А. К. Звездин, С. С. Кротов, А. М. Кадомцева и др., Письма в ЖЭТФ **81**, 335 (2005).
2. А. К. Звездин, Г. П. Воробьев, А. М. Кадомцева и др., Письма в ЖЭТФ **83**, 600 (2006).
3. А. Н. Васильев, Е. А. Попова, ФНТ **32**, 968 (2006).
4. А. М. Кадомцева, Ю. Ф. Попов, Г. П. Воробьев и др., ФНТ **36**, 640 (2010).
5. J. A. Campá, C. Cascales, E. Gutiérrez-Puebla et al., Chem. Mater. **9**, 237 (1997).
6. Y. Hinatsu, Y. Doi, K. Ito, M. Wakushima, and A. Alemi, J. Sol. St. Chem. **172**, 438 (2003).
7. D. Fausti, A. A. Nugroho, P. H. M. van Loosdrecht et al., Phys. Rev. B **74**, 024403 (2006).
8. M. N. Popova, J. Rare Earths **27**, 607 (2009).
9. Е. А. Попова, Н. Тристан, Х. Хесс и др., ЖЭТФ **132**, 121 (2007).
10. M. N. Popova, E. P. Chukalina, T. N. Stanislavchuk, and L. N. Bezmaternykh, J. Magn. Magn. Mater. **300**, e440 (2006).
11. M. N. Popova, T. N. Stanislavchuk, B. Z. Malkin, and L. N. Bezmaternykh, Phys. Rev. Lett. **102**, 187403 (2009); M. N. Popova, T. N. Stanislavchuk, B. Z. Malkin, and L. N. Bezmaternykh, Phys. Rev. B **80**, 195101 (2009).

12. А. М. Кадомцева, Ю. Ф. Попов, Г. П. Воробьев и др., Письма в ЖЭТФ **87**, 45 (2008).
13. E. A. Popova, D. V. Volkov, A. N. Vasiliev et al., Phys. Rev. B **75**, 224413 (2007).
14. E. A. Popova, N. Tristan, A. N. Vasiliev et al., Eur. Phys. J. B **62**, 123 (2008).
15. А. К. Звездин, А. М. Кадомцева, Ю. Ф. Попов и др., ЖЭТФ **136**, 80 (2009).
16. Ю. Ф. Попов, А. М. Кадомцева, Г. П. Воробьев и др., Письма в ЖЭТФ **89**, 405 (2009).
17. А. И. Панкрац, Г. А. Петраковский, Л. Н. Безматерных, В. Л. Темеров, ФТТ **50**, 77 (2008); А. И. Панкрац, Г. А. Петраковский, Л. Н. Безматерных, О. А. Баюков, ЖЭТФ **126**, 887 (2004).
18. A. D. Balaev, L. N. Bezmaternykh, I. A. Gudim et al., J. Magn. Magn. Mater. **258–259**, 532 (2003).
19. Субмиллиметровая диэлектрическая спектроскопия твердого тела, под ред. Г. В. Козлова, Труды ИОФАН, Т. 25, Наука, Москва (1990); G. V. Kozlov and A. A. Volkov, Topics in Applied Phys. **74**, 51 (1998).
20. А. Г. Гуревич, Магнитный резонанс в ферритах и антиферромагнетиках, Наука, Москва (1973).
21. А. М. Балбашов, А. А. Волков, С. П. Лебедев, А. А. Мухин, А. С. Прохоров, ЖЭТФ **88**, 974 (1985).
22. G. H. Dieke, *Spectra and Energy Levels of Rare Earth Ions in Crystals*, John Wiley and Sons Inc., New York (1969).
23. К. Тейлор, М. Дарби, Физика редкоземельных соединений, Мир, Москва (1974), с. 37.
24. C. Ritter, A. Balaev, A. Vorotynov et al., J. Phys.: Condens. Mat. **19**, 196227 (2007).